

# 물리계층 보안 강화를 위한 하향링크 의사-무작위 빔포밍 기법

손용, 정방철  
충남대학교 전자공학과  
e-mail : woongson@cnu.ac.kr, bcjung@cnu.ac.kr

## A Pseudo-Random Beamforming Technique for Improving Physical-Layer Security in Downlink Cellular Networks

Woong Son and Bang Chul Jung  
Department of Electronics Engineering  
Chungnam National University

### Abstract

In this paper, we consider a downlink cellular network which consists of a single base station (BS) with multiple antennas,  $U_d$  legitimate mobile stations (MSs) with a single antenna, and  $U_e$  eavesdroppers. In particular, we propose a pseudo-random beamforming (PRBF) technique which exploits multiple candidates of BF vectors in order to improve the physical-layer security, while reducing feedback overhead from MSs. Simulation results show that the proposed PRBF improves the secrecy rate as the number of BF candidates increases.

### I. 서론

최근 무선통신에서 보안성 강화에 대한 요구가 거세지고 있다. 특히, 군통신 네트워크에서의 보안성은 민간 유무선 통신에 비하여 그 중요성이 더욱 높다. 학계에서는 물리계층보안 (physical-layer security)의 개념이 정보이론적으로 정의 되었으며, 이 개념은 물리계층에서 공인된 사용자가 비공인 사용자들이 존재하는 상황에서 최대로 얻을 수 있는 보안 전송률을 나타내는 지표로 활용되고 있다. 한편, 의사 무작위 빔포밍 기법이 다중셀 다중사용자 다중안테나 환경에서 셀룰라 네트워크의 하향링크 전송률을 개선하는 기법으로 제안되었다 [2]. 의사 무작위 빔포밍 기법은 기존의 순수 무작위 빔포밍 기법에 비하여 신호절차가 간소하고 사용자 단말기로부터의 피드백 오버헤드를 감소시키는 장점이 있다. 이 무작위 빔포밍 기법을 활용하여 수신자 주변에 존재하여 전송을 엿듣는 비공인 단말이 존재할 때, 유출 전송률을 최소화하는 기회적 스케줄링 기법이 셀룰라 하향링크에서 제안되었다 [3]. 또한 상향링크에서 물리계층보안을 향상시키기 위하여 최적 다중사용자 다이버시티 이득을 달성할 수 있는 임계값 기반의 다중사용자 스케줄링 셀룰라 단일 셀 상향링크에서 제안되었다 [4]. [4]에서 제안된 임계값 기반의 물리계층보안 강화를 위한 사용자 스케줄링 기법은 다중셀 상향링크 환경으로 확장되었다 [5]. 그러나, [4-5]에서는 기지국과 단말기가 모두 단일안테나를 가진다고 가정하였다.

본 논문에서는 하향링크 셀룰라 네트워크에 하향링크 전송을 엿듣는 다중 비공인 단말들이 존재할 때, 보안 전송률을 향상시킬 수 있는 다중 의사-무작위 빔포밍 후보 선택기반 물리계층보안 향상기법을 제안한다.

### II. 다중빔 선택기반 의사-무작위 빔포밍 기법

#### 2.1 시스템 모델

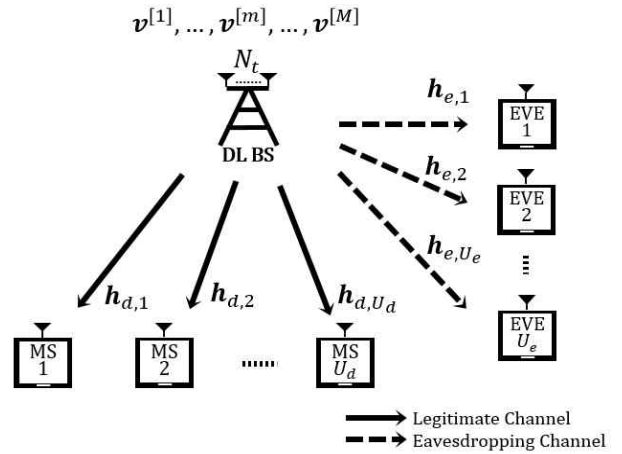


그림 1. 시스템 모델

본 절에서는 기밀 통신을 위한 의사-무작위 빔포밍 기법을 적용할 수 있는 하향링크 셀룰라 네트워크의 시스템 모델을 설명한다.  $N_t$ 개의 송신 안테나를 갖는 하향링크 기지국과 단일 수신 안테나를 갖는 하향링크 단말이  $U_d$ 개 존재하며, 셀에 속하지 않은 비공인 단말  $U_e$ 개가 주변에 존재하여, 하향링크로 전송되는 신호를 엿들을 수 있고 엿들은 정보는 서로 공유하는 협력 구조를 갖는다고 가정한다. 또한, 기지국과 하향링크 단말들은 전송 전  $M$ 개의 의사-무작위 빔포밍 벡터 후보들인  $\mathbf{v}^{[1]}, \dots, \mathbf{v}^{[m]}, \dots, \mathbf{v}^{[M]}$ 에 대한 정보를 미리 공유하여 전송 전에 이미 알고 있다고 가정한다. 이때,  $m$ 번째 빔포밍 벡터  $\mathbf{v}^{[m]} \in \mathbb{C}^{N_t \times 1}$ 를 선택하여  $P$ 의 전력 제한을 갖는 송신 신호  $x$ 를 전송한다고 가정하면,  $i(i \in \{1, \dots, U_d\})$ 번째 하향링크 단말에서의 수신 신호는 다음과 같다.

$$y_{d,i}^{[m]} = \mathbf{h}_{d,i} \mathbf{v}^{[m]} x + n_{d,i}, \quad (1)$$

이때,  $\mathbf{h}_{d,i} \in \mathbb{C}^{1 \times N_t}$ 는 기지국으로부터  $i$ 번째 하향링크 단말까지의 무선 채널 벡터를 의미하며,  $n_{d,i}$ 는  $i$ 번째 하향링크 단말에서의 열잡음으로  $CN(0,1)$ 의 분포를 따른다.

유사하게  $j(j \in \{1, \dots, U_e\})$ 번째 비공인 단말에서의 수신 신호는 다음과 같다.

$$y_{e,j}^{[m]} = \mathbf{h}_{e,j} \mathbf{v}^{[m]} x + n_{e,j}, \quad (2)$$

이때,  $\mathbf{h}_{e,i} \in \mathbb{C}^{1 \times N_t}$ 는 기지국으로부터  $i$ 번째 비공인 단말까지의 무선 채널 벡터를 의미하며, 이에 대해서는 기지국이 이미 알고 있다고 가정한다. 또한,  $j$ 번째 비공인 단말에서의 열잡음  $n_{e,j}$ 는  $CN(0,1)$ 의 분포를 따른다.

2.2 기밀 통신을 위한 의사-무작위 빔포밍 기법 동작 절차  
본 절에서는 기밀 통신을 위한 의사-무작위 빔포밍 기법에 대한 자세한 동작 절차를 설명한다.

### 2.2.1 기지국에서의 참조 신호 전송

하향링크 단말들이 기지국으로부터의 무선 채널 벡터를 획득할 수 있도록 기지국은 참조 신호를 방송한다.

### 2.2.2 하향링크 단말들의 SINR 피드백

참조 신호를 수신한 하향링크 단말들은 이미 알고 있는 기지국에서의 의사-무작위 빔포밍 벡터  $M$ 개에 대한 각 수신 SNR을 다음과 같이 계산하고 빔포밍 벡터 참조 번호를 함께 피드백한다.

$$SNR_{d,i}^{[m]} = \frac{|\mathbf{h}_{d,i} \mathbf{v}^{[m]}|^2 P}{N_0}, \quad \forall m. \quad (3)$$

### 2.2.3 비공인 단말에서의 수신 SINR 계산

기지국은  $M$ 개의 의사-무작위 빔포밍 벡터 후보들에 대해 이미 알고 있는 비공인 단말까지의 무선 채널 벡터를 이용하여 비공인 단말에서의 수신 SNR을 다음과 같이 계산한다.

$$SNR_{e,j}^{[m]} = \frac{|\mathbf{h}_{e,j} \mathbf{v}^{[m]}|^2 P}{N_0}, \quad \forall m. \quad (4)$$

### 2.2.4 기지국에서의 사용자 스케줄링

기지국은 하향링크 단말로부터 수집된 정보를 기반으로 하향링크 전송률을 다음과 같이 계산한다.

$$R_{d,rate}^{[m]} = \log_2 \left( 1 + \max_{1 \leq i \leq U_d} SNR_{d,i}^{[m]} \right), \quad \forall m. \quad (5)$$

또한, 비공인 단말로의 기밀 유출률을 다음과 같이 계산할 수 있다.

$$R_{e,rate}^{[m]} = \log_2 \left( 1 + \max_{1 \leq i \leq U_e} SNR_{e,i}^{[m]} \right), \quad \forall m. \quad (6)$$

### 2.2.5 기밀 통신을 위한 최적의 의사-무작위 빔포밍 벡터 선택

기지국은 기밀 전송률을 극대화하는 최적의 의사-무작위 빔포밍 벡터의 참조 번호를 다음과 같이 선택한다.

$$\hat{m} = \underset{m}{\operatorname{argmax}} (R_{d,rate}^{[m]} - R_{e,rate}^{[m]}). \quad (7)$$

### 2.2.6 하향링크로의 데이터 전송

기지국은 선택한 기밀 통신을 위한 최적의 의사-무작위 빔포밍 벡터  $\mathbf{v}^{[m]}$ 를 사용해서 하향링크로 전송하며, 이때의 물리계층 보안 전송률은 다음과 같이 얻는다.

$$R_{s,rate}^{[\hat{m}]} = R_{d,rate}^{[\hat{m}]} - R_{e,rate}^{[\hat{m}]}. \quad (8)$$

## III. 시뮬레이션 결과 및 결론

$$U_d=50 \quad N_t=4 \quad N_r=1$$

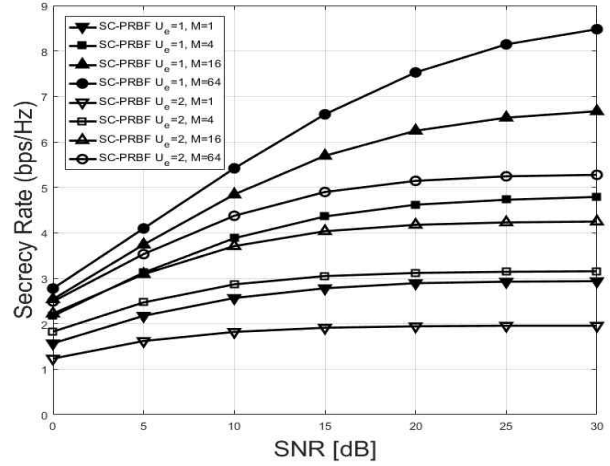


그림 2. 제한된 기법의 보안 전송률 성능

[그림2]는 1개의 셀 내부에 하향링크 단말이 50개 존재하고 이를 엮는 비공인 단말 수에 따른 시뮬레이션 결과를 보여준다. 빔포밍 벡터 후보 수가 증가할수록 보안 전송률이 향상된다.

본 논문에서는 물리계층 보안기밀 통신을 위한 의사-무작위 빔포밍 기법을 제안하고, 다양한 환경에서 시뮬레이션 실험을 통해 성능을 분석하였다. 특히 빔포밍 벡터 후보 수가 증가하면 보안 전송률이 향상되는 것을 확인하였다.

## Acknowledgement

본 연구는 방위사업청과 국방과학연구소가 지원하는 미래 전투체계 네트워크 기술 특화연구센터 사업의 일환으로 수행되었습니다. (UD160070BD)

## 참고문헌

- [1] Y. -S. Shiu, *et al.*, "Physical layer security in wireless networks: A tutorial" *IEEE Wireless Commun.*, vol. 18, no. 2, Apr. 2011.
- [2] W. Son, B. C. Jung, and W.-H. Chang., "다중 빔포밍 행렬 선택기반 다중셀 의사-무작위 빔포밍 기법." *한국통신학회 논문지*, Vol. 42, No. 7, pp. 1356-1359, Jul. 2017.
- [3] I. Krikidis and B. Ottersten, "Secrecy sum-rate for orthogonal random beamforming with opportunistic scheduling," *IEEE Signal Process. Lett.*, vol. 20, no. 2, pp. 141 - 144, Feb. 2013.
- [4] H. Jin, W.-Y. Shin, and B. C. Jung, "On the multi-user diversity with secrecy in uplink wiretap networks," *IEEE Commun. Lett.*, vol. 17, no. 9, pp. 1778 - 1781, Sep. 2013.
- [5] H. Jin, B. C. Jung, and W.-Y. Shin "On the secrecy capacity of multi-cell uplink networks with opportunistic scheduling," *Proc. IEEE ICC*, May 2016.